

# 使い方と検索事例

## Stop Searching – Start Researching

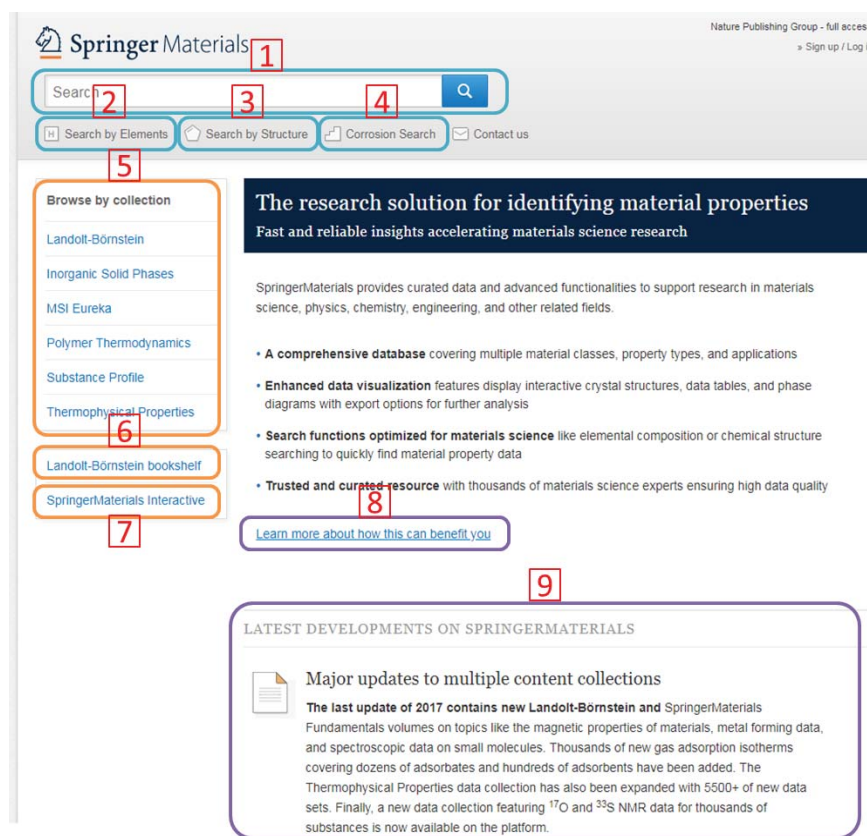
 Springer Materials

[materials.springer.com](http://materials.springer.com)

SPRINGER NATURE

## ホームページ画面

1



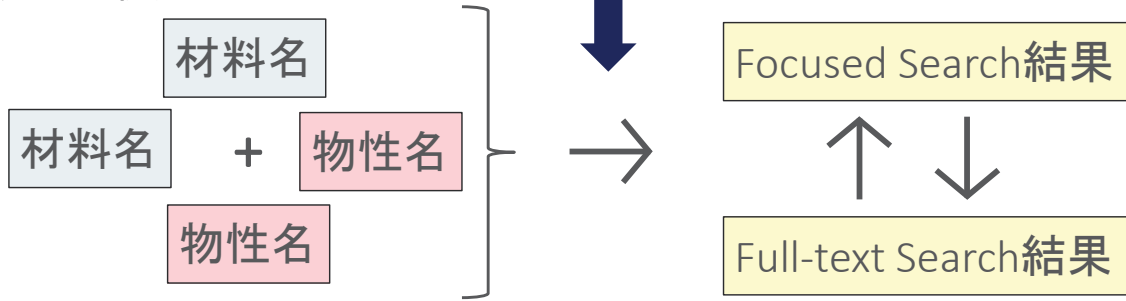
The screenshot shows the Springer Materials homepage. At the top left is the logo. To its right is a search bar with a magnifying glass icon (1). Below the search bar are three buttons: 'Search by Elements' (2), 'Search by Structure' (3), and 'Corrosion Search' (4). To the right of these buttons is a 'Contact us' link. On the far right of the header is a 'Sign up / Log in' link. Below the header is a navigation menu with a 'Browse by collection' section containing links to 'Landolt-Börnstein' (5), 'Inorganic Solid Phases', 'MSI Eureka', 'Polymer Thermodynamics', 'Substance Profile', 'Thermophysical Properties' (6), 'Landolt-Börnstein bookshelf' (7), and 'SpringerMaterials Interactive' (8). A 'Learn more about how this can benefit you' button (9) is located below this menu. The main content area features a dark banner with the text 'The research solution for identifying material properties' and 'Fast and reliable insights accelerating materials science research'. Below the banner is a paragraph about the service's purpose and a bulleted list of features. At the bottom of the page is a 'LATEST DEVELOPMENTS ON SPRINGERMATERIALS' section with a box containing text about recent updates.

1. 検索窓
2. 周期表検索
3. 分子構造検索
4. 腐食検索
5. データソースごとの  
コンテンツ
6. Landolt-börnstein書庫
7. SpringerMaterials Interactive
8. 詳しい説明のページ  
(パンフレットなどの資料も置いてあります)
9. 更新情報

SPRINGER NATURE

# 検索のフロー

- 一般的な検索フロー



- 材料の指定方法

- 元素系指定 (例 : Fe-C-Mn) • 周期表検索 (Search by Elements)
- 分子構造検索 (Search by Structure) • CAS番号 (例 : 110-86-1)

- その他検索方法

- 腐食検索 (材料名・環境の変数を入力)
- データソースごとのコンテンツにアクセス
- 書庫閲覧

\* Speed Typing機能 (入力していくと候補を表示)

\* ギリシャ文字も検索できます (例 :  $\beta$ -W)

\* 論理演算子 (AND・NOTなど) は廃止されました

**SPRINGER NATURE**

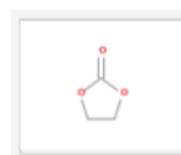
## データ形式



結晶構造



ドキュメント  
(Landolt-börnstein)



化合物  
プロファイル



相図



相図評価書



無機物性データ  
(Inorganic Solid Phases)



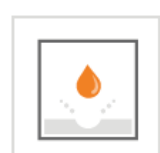
本の章



元素系材料の  
一次論文集



グラフ  
(熱力学データ・  
吸着等温曲線)



腐食データ



SpringerMaterials  
Interactive

**SPRINGER NATURE**

## 検索事例

- Q1. アセトンの20°Cにおける表面張力を調べたい
- Q2. 炭化ケイ素（SiC）のバンドギャップを調べたい
- Q3. トリフェニルホスフィンの物性データを調べたい
- Q4. コバルト酸リチウム（LiCoO<sub>2</sub>）の相図・結晶構造・相図評価レポート入手したい
- Q5. 金属に対する炭素の溶解度を調べたい
- Q6. 二酸化炭素の吸着について調べたい
- Q7. ステンレス鋼SUS304の様々な環境下における腐食度について調べたい

SPRINGER NATURE

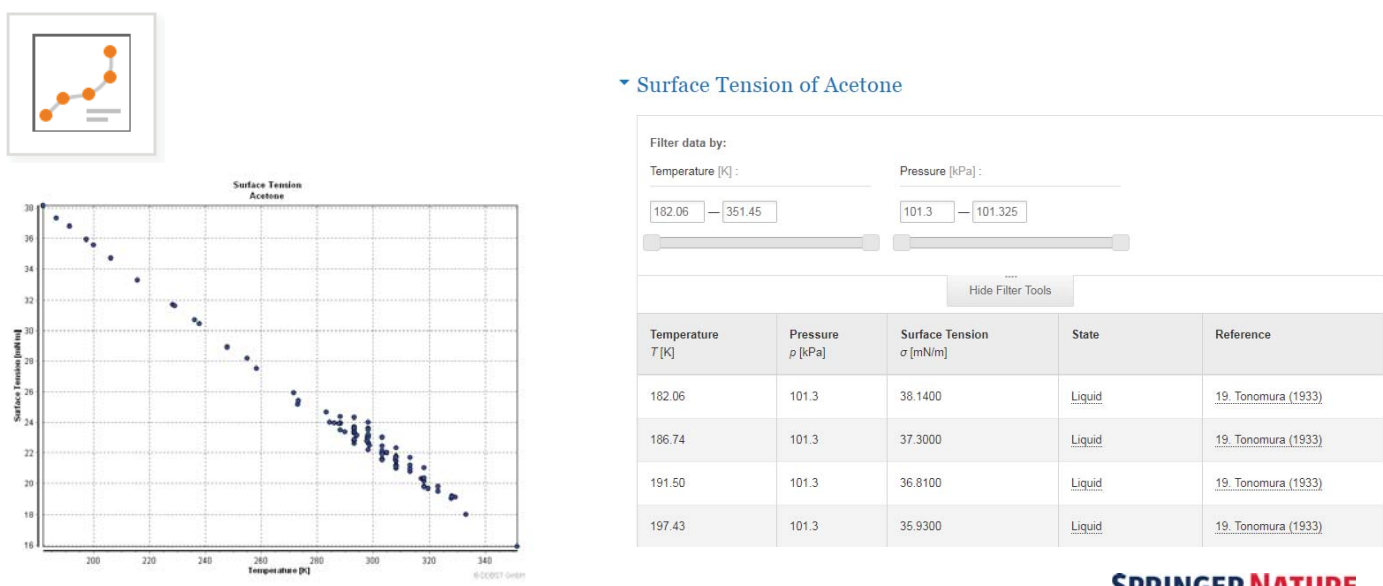
## 検索事例—アセトンの表面張力

### Q1.

方法1) "acetone surface tension"と入力

方法2) "acetone"と入力し、左のPropertiesのカラムから"surface tension"を選択し、結果を絞り込む

検索結果からAcetone Surface Tensionを選び、グラフやテーブルを読み取る



SPRINGER NATURE

# 検索事例ー炭化ケイ素のバンドギャップ

6

## Q2.

SiCのバンドギャップを求める場合)

"SiC bandgap"と入力して検索

SiC二元系材料のバンドギャップを求める場合)

"Si-C bandgap"と入力して検索

"band gap energy"で絞り込むことも可

テーブルやドキュメントを参照する



substance: silicon carbide (SiC)  
property: band structure, energy gaps  
3C-SiC:

For examples of recent calculations, see [97L1, 97W, 95W], for the structure of the lowest conduction band, see also Fig. 1. Relationship between zincblende and wurtzite Brillouin zones: Fig. 2.

**band structure:** Figs. 1, 3, 5, Brillouin zones: Fig. 6

**energy gaps**

	$E_{g,ind}(T_{15v}-X_{1c})$	2.417(1) eV	$T = 2\text{ K}$	wavelength modulated absorption	80H, 81H
$dE_{g,ind}/dp$	-1.9 meV/GPa	$T = 300\text{ K}$	optical absorption	89K	

**Further (earlier) data:**

	$E_{g,ind}$	2.60 eV	$T = 0\text{ K}$	optical absorption	67Z
$dE_{g,ind}/dT$	2.2 eV -5.8(3)	$T = 300\text{ K}$ $\cdot 10^{-4}\text{ eV/K}$	$T = 295\text{...}700\text{ K}$	optical absorption optical absorption optical absorption	60P 65D
$E_{g,dif}$	6.0 eV	$T = 300\text{ K}$	optical absorption	69C	
$E_{g,ind}(T_{15v}-X_{1c})$	2.417(1) eV	$T = 2\text{ K}$	wavelength modulated absorption	81H	

**exciton energy gaps (in eV)**

# 検索事例ートリフェニルホスフィンの物性データ

7

## Q3.

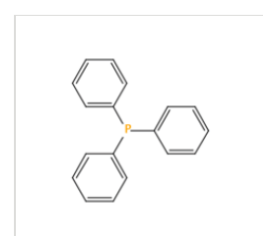
方法1) "triphenylphosphine"と入力

方法2) 検索窓下のSearch by Structureから分子構造を  
描写して検索

方法3) CAS番号を入力(603-35-0)

検索結果の中のSubstance Profileを開く

各物性値（密度、粘度、原子配座など）が収載されたドキュメントへ、  
リンクを使ってアクセスする



856	C <sub>18</sub> H <sub>15</sub> P	triphenylphosphane	603-35-0
T/ <sup>o</sup> C	100.0		12W1
$\eta$ /(mPa s)	4.62		
T/ <sup>o</sup> C	82.6	89.8	78T1
$\nu$ /(mm <sup>2</sup> /s)	6.63	5.41	
T/ <sup>o</sup> C	139.6	149.7	78T1
$\nu$ /(mm <sup>2</sup> /s)	2.00	1.679	
		1.467	
		1.302	
		1.171	

Structure Data of Free Polyatomic Molecules			
937	C <sub>18</sub> H <sub>15</sub> P	Triphenylphosphine	C <sub>3</sub>
ED, ab initio calculations			
$r_p$ Å <sup>a</sup>	$\theta_p$ deg <sup>b</sup>		
C-H (average)	1.098(3)	C(1)-C(2)-C(3)	121.3(11)
P-C	1.839(2)	C(2)-C(3)-C(4)	118.9(12)
C(1)-C(2)	1.404(1)	C(3)-C(4)-C(5)	120.2(7)
C(2)-C(3)	1.399 <sup>c</sup> )	C(4)-C(5)-C(6)	120.1(10) <sup>c</sup> )
C(3)-C(4)	1.404 <sup>c</sup> )	C(5)-C(6)-C(1)	119.2(10) <sup>c</sup> )
C(4)-C(5)	1.395 <sup>c</sup> )	C(6)-C(1)-C(2)	118.9(14) <sup>c</sup> )
C(5)-C(6)	1.396 <sup>c</sup> )	P-C-C	115.8(5)
C(1)-C(6)	1.408 <sup>c</sup> )	C-P-C	102.2(7)
C-C (average)	1.400 <sup>c</sup> )	$\tau^d$	32.2(35)

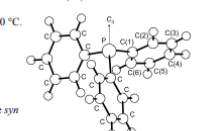
The temperature of the measurements was 170 °C.

<sup>a</sup> Twice the estimated standard errors.

<sup>b</sup> Difference relative to the C(1)-C(2) bond length was assumed at the value from HF/6-31G\* calculations.

<sup>c</sup> Dependent parameter.

<sup>d</sup> Torsional angle C<sub>3</sub>-P-C(1)-C(2) from the syn position, where C<sub>3</sub> is the symmetry axis.



Triphenylphosphine	[603-35-0]	C <sub>18</sub> H <sub>15</sub> P	MW = 262.29
cr	1	354.40 ± 0.50	19.69 ± 0.20

Naumov, V.A., Taipol'ski, M.A., Naumov, A.V., Shorokhov, D.Yu., Samdal, S.: Zh. Oboshch. Khim. 71 No 8 (2001) 1299; Russ. J. Gen. Chem. (Engl. Transl.) 71 (2001) 1225.

# 検索事例－コバルト酸リチウムの結晶構造・相図・相図評価レポート

8

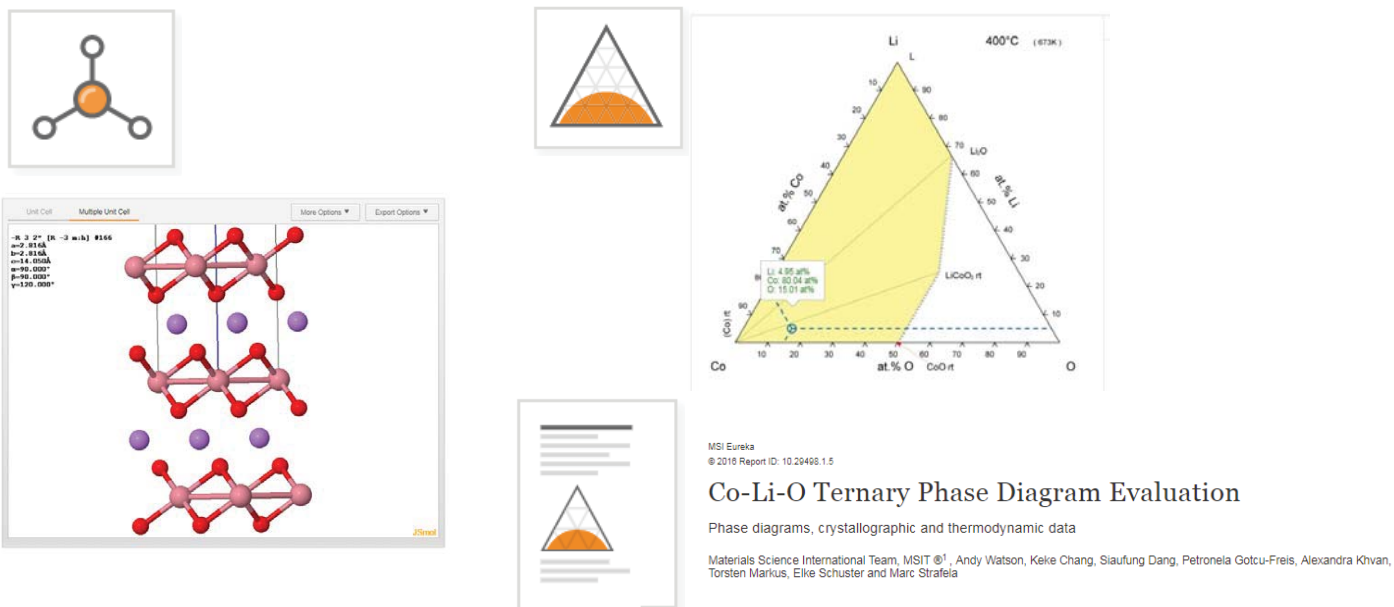
## Q4.

方法1) “LiCoO<sub>2</sub> or Li-Co-O + 物性名”と入力

方法2) 検索窓下のSearch by Elementsから元素を選択して検索

絞り込み検索などを使い、相図・結晶構造・評価レポート入手する

相図評価レポートについてはData sourceの中の”MSI Eureka”で絞り込み検索



# 検索事例－金属に対する炭素の溶解度

9

## Q5.

(Cuに対するCarbonの溶解度を調べる場合)

方法1) “C-Cu”、もしくは元素検索でCとCuを選択

検索結果のC-Cu (Carbon-Copper)を選択し、ドキュメント内の相図から溶解度を求める。

方法2) “C-Cu solubility”で全文検索

結果が出てこない場合はdiffusionなどに言い換えて検索する

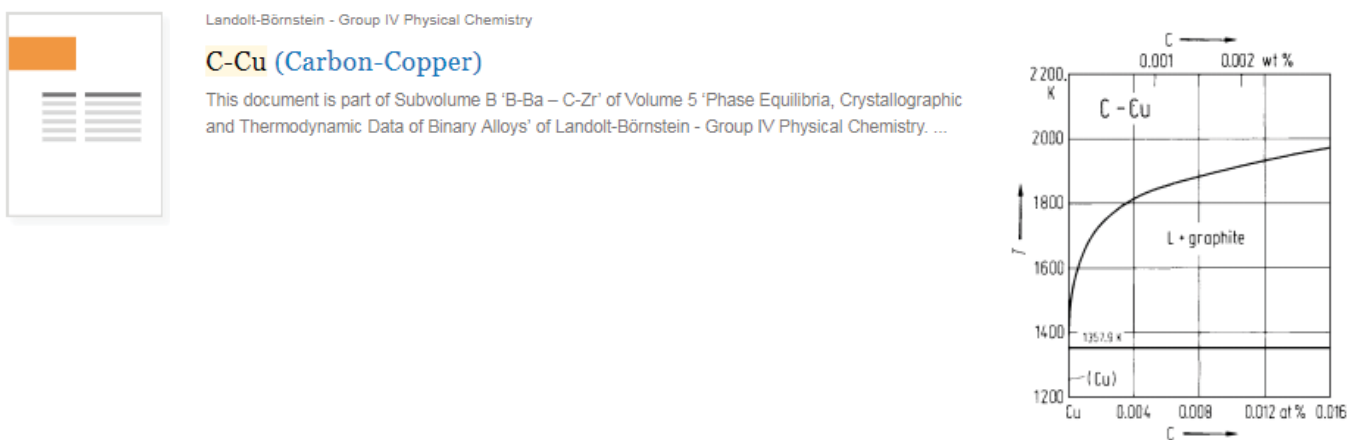


Fig. 1. C-Cu. Partial phase diagram (Cu-rich part).

# 検索事例—二酸化炭素の吸着について

Q6.

“CO<sub>2</sub> adsorption”で検索

吸着等温曲線やガス吸着に関するドキュメントなどがヒットする

Interactive

Adsorption for carbon dioxide on AC (activated carbon)

[How this page works](#)

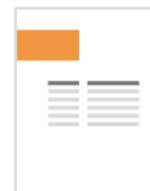
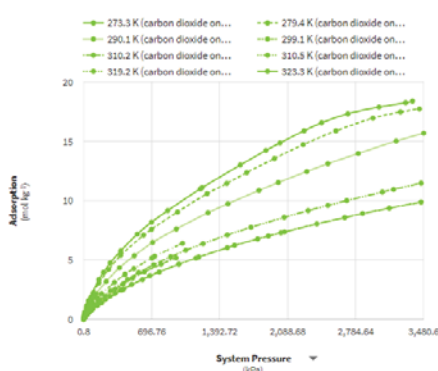


Table I. Thermodynamics of CO<sub>2</sub> adsorption

Substrate	T <sub>s</sub> [K]	Chemisorption	Coverage	T <sub>des</sub> [K]	E <sub>d</sub> [kJ/mol]	Technique	Ref.
Ag(111)	40	No				TPD	91Sol1, 87Sak
Ag(110)	300	No	0.25			TPD	83Bac
	100	No				TPD	82Stu
O/Ag(110)							
θ <sub>c</sub> = 0.1	100	Yes		480	84-102	TPD	91Sol1, 82Stu
θ <sub>c</sub> = 0.25	100	Yes		420	113	TPD	83Bac
Al foil	80	Yes		<295		XPS	87Car
Al(100)	100	No				TPD	91Sol1
Na/Al(100)	100	Yes		285		TPD	91Sol1
Bi(0001)	80	No				XPS, HREELS	91Bro
Cu film	90	Yes (weak)		<200		XPS	98Poh
Cu(110)	80	No				TPD	89Rod
	130	No				TPD	96Kra
Cu(100)	100	No				XPS, HREELS	91Bro
Ca/Cu(110)							
θ <sub>c</sub> = 1	80	Yes	0.25	500-600		TPD	94Car, 01God
θ <sub>c</sub> = Yes	80	Yes	0.25	370, 500		TPD	89Rod
K/Cu(110)							
θ <sub>c</sub> = 0.5	100	Yes		<175		HREELS	95Ous
θ <sub>c</sub> = 0.75	130	Yes	Satn.	<160		UPS, XPS	96Kra
O/Cu(110)	80	Yes		<295		XPS, HREELS	94Car
O/Cu(211)	80	Yes (weak)		<130		XPS	88Cop
Fet(poly)	80	Yes (weak)		<110		XPS, UPS	87Pir
Fe(111)	77	Yes (weak)		<160		ARUPS, HREELS	86Beh, 87Fre, 87Beh, 87Bau
	100	Yes (weak)		<130	40	HREELS	95Hes

SPRINGER NATURE

# 検索事例—SUS304の腐食度

Q7.

検索窓の下にあるCorrosion Searchを選択し、材料名か環境名を検索することで腐食データを調べることができる

“304 stainless steel”と入力

テーブルの“More details”から腐食データの詳細を確認でき、Ratingのカラムをクリックすることで耐性の評価について降順・昇順にした結果を返すこともできる



Corrosion Search

Find out a corrosion rate and its relevant details by entering a material and/or environment into the search box below.

material: 304 stainless steel × Enter material and/or environment



1,281 results

◀ 1 of 129 ▶

Material	Environment	Rating	Show all details
304 stainless steel	Acetaldehyde 100 %	A (Resistant) 0.003 mm/year	▼ More details
304 stainless steel	Acetic Acid 20 %	C (Questionable) 0.8 mm/year	▼ More details
304 stainless steel	Acetic Acid Concentrated	A (Resistant) 0.081 mm/year	▼ More details

TURE